

تخمین استریولوژیکی^(۱) تعداد گلومرول‌ها در مسمومیت کلیوی حاصل از داروی سیس پلاتین در کلیه موش صحرایی نر

دکتر عبدالرحمن دزفولیان^(۲) - دکتر حیات ممبینی^(۳) - دکتر شهلا ظهیری^(۴) - دکتر فرزانه دهقانی^(۵)
دکتر عبدالکریم منصوری^(۶)

چکیده:

مقدمه: سیس پلاتین دارویی است که به‌طور گسترده جهت درمان تومورهای بدخیم مانند سرطان‌های سر و گردن، تخمدان، مثانه، مری، ریه و انواع لوکمی‌ها به‌کار می‌رود. مصرف این ترکیب به علت عوارض جانبی متعددی که روی اعضای مختلف بویژه کلیه‌ها می‌گذارد محدود می‌باشد. از آنجا که سمیت کلیوی حاصل از این دارو تاکنون به لحاظ جنبه‌های بالینی (شواهد آزمایشگاهی و یافته‌های هیستوپاتولوژیکی) اثبات گردیده است، هدف از این تحقیق معرفی و به‌کارگیری تکنیک سه بعدی جهت مطالعه تغییرات احتمالی در تعداد گلومرول‌های کلیوی پس از ایجاد سمیت مذکور می‌باشد.

روش کار: در این تحقیق ۳۰ رأس از موش‌های صحرایی نر از طریق نمونه‌برداری تصادفی، جداسازی شده و به گروه‌های ده‌تایی تقسیم گردیدند. به یک گروه سیس پلاتین به شکل دوز حاد و به میزان ۷/۵ میلی‌گرم به ازای هر کیلوگرم حل‌شده در سرم فیزیولوژی و به گروه کنترل معادل آن حلال دارو به تنهایی از طریق داخل صفاقی تزریق گردید. گروه سوم نیز دارو را به شکل مزمن آن به میزان ۱/۲۵ میلی‌گرم به ازای هر کیلوگرم به مدت ۵ روز متوالی دریافت نمودند. تمامی حیوانات به مدت ۹۶ ساعت پس از آخرین تزریق، بیهوش گردیده و سپس مورد کالبدشکافی قرار گرفتند و کلیه‌های راست آنها پس از تزریق در فیکساتور قرار داده شد و پس از انجام مراحل خاص آماده‌سازی جهت انجام تکنیک شمارنده فیزیکی و شمارش تعداد ذرات مورد نظر جهت مطالعه آماده گردیدند.

نتایج: تعداد کل گلومرول‌ها ۳۱۷۰۷، ۳۰۴۱۵ و ۳۰۸۰۲ و تراکم عددی آنها نیز به میزان ۱۱۹، ۱۶۲ و ۱۴۰ به ترتیب در گروه‌های کنترل، دوز حاد و دوز مزمن محاسبه گردیده است.

نتیجه‌گیری: هرچند به لحاظ هیستوپاتولوژیکی تغییرات بافتی به شکل نکروز سلولی بویژه در لوله‌های پروکسیمال و التهاب بافت بینابینی، آپاپتوز سلولی و در برخی موارد اسکروز گلومرولی در گروه‌های دریافت‌کننده دارو به وضوح نشان داده می‌شود لیکن گلومرول‌های کلیوی به لحاظ عددی تغییرات چندانی را نشان نداده و ثبات خود را در این خصوص نسبتاً حفظ می‌نمایند.

واژگان کلیدی: سیس پلاتین، مسمومیت کلیوی، گلومرول، شمارنده فیزیکی.

مقدمه

سیس پلاتین یک کمپلکس غیرآلی و ترکیبی می‌باشد که مهارکننده سنتز دزوکسی ریبونوکلیک اسید است و به گونه گسترده‌ای جهت درمان تومورهای بدخیم از جمله تومورهای متاستازدهنده تخمدان، بیضه، بدخیمی‌های اپی‌تلیال، سرطان‌های سر و گردن، مثانه، مری، ریه و انواع لوکمی‌ها به کار می‌رود (۱و۳). این دارو مشابه با سایر داروهای ضدسرطان، روی

اعضای مختلف، عوارض جانبی متنوعی از خود به جای می‌گذارد. عمده‌ترین اختلال حاصله از آن نفروتوکسیستی می‌باشد (۴و۵). مطالعات گسترده، نشانگر آن است که این ترکیب از طریق

1. Steriologic Stimulation.

- ۲ و ۳- عضو هیأت علمی دانشگاه علوم پزشکی اهواز.
- ۴- عضو هیأت علمی دانشگاه علوم پزشکی جهرم.
- ۵- عضو هیأت علمی دانشگاه علوم پزشکی شیراز.
- ۶- عضو هیأت علمی دانشگاه علوم پزشکی اهواز.

تاریکی قرار داده شدند. برنامه غذایی حیوانات شامل غذای آماده حیوانات آزمایشگاهی، ساخت شرکت خوراک دام و طیور شوستر و آب تصفیه شهری بود.

سپس داروی سیس پلاتین حل شده در سرم فیزیولوژی به صورت ویال آماده از شرکت بلون فرانسه خریداری شده و به گروهی از حیوانات به طریق داخل صفاقی به میزان ۷/۵ میلی‌گرم به ازای هر کیلوگرم به صورت دوز حاد و در گروه دوم، هم حجم داروی تزریق شده، سرم فیزیولوژی تجویز شد. به گروه سوم دارو به شکل مزمن آن به میزان ۱/۲۵ میلی‌گرم به ازای هر کیلوگرم به مدت پنج روز متوالی و هر روز در زمان معین تزریق گردید. تمامی حیوانات پس از ۹۶ ساعت از آخرین تزریق، ابتدا در محفظه حاوی اتر با غلظت ۱۰٪ جهت بیهوشی قرار داده شدند و پس از باز کردن شکم با استفاده از تکنیک نفوذ عروقی^(۲)، تثبیت‌کننده که شامل فرمالین با فرسفات ۱۰٪ بوده به داخل بطن چپ آنها تزریق گردید و پس از نفوذ آن به داخل ارگان‌ها، کلیه‌های راست حیوان به دقت از محل جدا شده و پس از شستشوی مختصری با نرمال سالین، ابتدا توسط ترازوی حساس توزین گردیده و درون فیکساتور قرار داده شد. پس از ۴ روز و تعویض تثبیت‌کننده در طی این مدت، کلیه‌ها جهت مطالعات کمی مورد آماده‌سازی قرار گرفتند. بدین منظور و به جهت کاربرد تکنیک شمارنده فیزیکی، که یکی از تکنیک‌های مهم استریولوژی جهت شمارش تعداد ذرات خاص در یک نمونه می‌باشد، کلیه‌ها پس از فیکساسیون اولیه درون محلول آگار ۷٪، قالبگیری شده و بلوک‌های مکعبی شکل حاصله بر روی دستگاه ماکروتوم بافتی طراحی شده قرار گرفتند (۱۱) و عضو مورد نظر به نحوی که محور طولی آن عمود بر صفحه برش باشد به قطعات یک میلیمتری تقسیم گردید. سپس با حفظ موقعیت و جهت، برای تمامی برش‌های به دست آمده، مراحل آماده‌سازی بافت انجام و پس از قالبگیری برش‌ها از هر کدام دو اسلاید ۵ میکرونی براساس طرح نمونه‌برداری استریولوژیکی تهیه و توسط روش معمولی هماتوکسیلین - ائوزین رنگ‌آمیزی گردیدند. از آنجا که شمارنده یک کاوشگر سه بعدی است که شمارش ذرات مورد نظر را بدون توجه به اندازه و شکل آنها صورت می‌دهد و

اتصالات کووالانسی با ماکرومولکول‌های کلیه موجب آسیب بافتی می‌گردد (۵ و ۱۵).

آسیب کلیوی حاصل از این ترکیب به لحاظ شاخص‌های آزمایشگاهی، با بالا رفتن سطوح غلظت کراتینین و BUN سرم خون و همچنین به لحاظ هیستوپاتولوژیکی به شکل نکروز حاد سلولی در لوله‌های کلیوی بویژه لوله‌های مجاور نزدیک و ظهور پدیده آماس در بافت بینابینی و آپاپتوز سلولی تاکنون مورد بررسی و تأیید قرار گرفته است (۲ و ۳ و ۴ و ۶).

در این مطالعه هدف ما یک بررسی و آنالیز کمی بابه کارگیری تکنیک استریولوژی در شمارش تعداد گلمرول‌های کلیوی قبل و پس از ایجاد مسمومیت می‌باشد. استریولوژی علمی است که هرچند سابقه‌ای طولانی دارد لیکن در چند سال اخیر راه خود را در حیطه علوم تجربی به نحوی باز نموده و بالاخص در شاخه سم‌شناسی و مطالعه اثرات جانبی دارو و مواد شیمیایی کاربرد فراوانی پیدا نموده است (۹ و ۱۱ و ۱۰).

در این علم با استفاده از تکنیک‌های خاص و فرمول‌های اثبات‌شده ریاضی و استفاده از علم آمار و احتمالات، می‌توان یک مطالعه کمی و دقیق بر روی نمونه انجام داد و حتی در مواردی که سایر یافته‌ها نتوانند کمک چندانی بنمایند کمک مؤثری ارائه نموده است. در استریولوژی می‌توان جنبه‌های گوناگون مانند تعیین حجم عضو و بافت، تعیین تعداد ذرات خاص در نمونه، محاسبه سطح، طول و ... را بسته به موضوع مورد مطالعه انتخاب نمود و نتایج مطالعات را صرفاً از بعد کیفی خارج ساخته و به صورت تعداد و ارقام قابل اطمینان و دور از هرگونه سوگیری ارائه داد (۹ و ۱۰ و ۱۱ و ۱۲).

از این روش بر آن شدیم تا تأثیر سمیت این دارو را به لحاظ جنبه کمی و تغییراتی که احتمالاً در رابطه با تعداد گلمرول‌های کلیه رخ می‌دهد مورد بررسی قرار دهیم.

روش کار

۳۰ سر از موش‌های صحرایی نر از نژاد اسپراکو دالی^(۱) با وزنی در حدود ۲۰۰ - ۲۴۰ گرم به عنوان حیوانات آزمایشگاهی انتخاب و از طریق نمونه‌برداری تصادفی ساده به سه گروه ده‌تایی تقسیم گردیدند. حیوانات به‌طور سه‌تایی در قفس مخصوص حیوانات و با چرخه نوری ۱۲ ساعات روشنایی، ۱۲ ساعت

1. Sprague-Dwally.

2. Perfusion Vascular Technique.

گلمرول‌ها عبارت است از:

$$N_V = \frac{\Sigma Q}{a/f \cdot h \cdot \Sigma P}$$

N_V = دانسیته عددی ذرات

ΣQ = مجموع ذرات شمارش شده

ΣP = مجموع نقاط همراه فریم که با فضای مرجع برخورد داشته‌اند

h = ارتفاع شمارنده (حداقل باید یک سوم قطر ذره مورد نظر باشد)

a/f = مساحت هر فریم

پس از تعیین دانسیته عددی گلمرول‌ها با ضرب نمودن آن

در حجم مرجع تعداد کل گلمرول‌ها به دست می‌آید:

$$N_{Tut} = N_V \times V_{Ref}$$

N_{Tot} = تعداد کل ذرات مورد نظر

N_V = دانسیته عددی ذرات

V_{Ref} = حجم فضای مرجع

ضریب خطای استریولوژیکی یک روش ریاضی سودمند جهت

نشان دادن میزان شک و تردید در ارتباط با تخمین مورد نظر می‌باشد که معمولاً تا حدود ۱۰٪ قابل قبول است.

محاسبه ضریب خطای استریولوژیکی در مطالعه حاضر در

رابطه با تعیین دانسیته عددی گلمرول‌ها صورت گرفته که در

جدول نتایج نشان داده شده است.

نتایج

نتایج حاصل از این مطالعه با استفاده از آماره

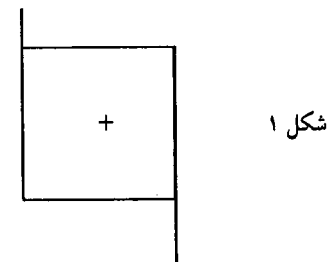
«من-ویتنی-یو»^(۲) و با در نظر گرفتن سطح معنی‌دار ۰/۰۵ زیر

منحنی، آنالیز گردیده و در جدول شماره ۱ نمایش داده شده

است.

شامل سیستم آزمون و شمارش با قوانین خاص خود است و با استفاده از دو مقطع موازی با یک زوج شمارنده به عنوان پروبی سه بعدی صورت می‌پذیرد (۱۱ و ۹)، لذا در مرحله میکروتومی از هر اسلاب به دست آمده دو برش ۵ میکرومتری به نحوی که اولین برش به طور تصادفی تهیه گردد، به دست آمد.

دو مقطع زوج موازی به طور همزمان بر روی دستگاه میکروسکوپ پروژکتینگ قرار داده شد و سپس با استفاده از سیستم آزمون مربوطه شمارش انجام گردید (شکل ۱).



در این مطالعه جهت شمارش تعداد گلمرول‌های کلیوی از دو دستگاه میکروپروجکتینگ^(۱) استفاده شد. دو مقطع زوج موازی انتخاب و مقطع اول به عنوان مرجع و مقطع دوم به عنوان شاهد به گونه‌ای روی دو دستگاه تنظیم گردید که فیلدهای مورد مطالعه یکسان باشند. سپس از شبکه‌ای متشکل از چهار فریم که ابعاد هر فریم $\Delta x = 4/85$ سانتی‌متر و $\Delta y = 5$ سانتی‌متر بود استفاده گردید و برای هر مقطع چهار بار این شبکه بر روی فیلدهای مورد مشاهده به صورت تصادفی منطبق گردید. بزرگنمایی خطی میکروسکوپ ۱۳۰ و ارتفاع شمارنده مربوطه ۱۴ میکرومتر در نظر گرفته شد و با در نظر گرفتن قوانین مربوط به شمارش، بدین نحو که چنانچه گلمرولی در داخل فریم‌ها یا روی خطوط نقطه‌چین قرار می‌گرفت، محاسبه و چنانچه خارج از این محدوده بود یا روی خطوط توپر بود، از آن صرف نظر می‌گردید. تعداد گلمرول‌هایی که در مقطع دوم مشاهده نمی‌شوند شمارش و ΣQ به دست آمد و ΣP نیز که تعداد فریم‌هایی بود که در فضای مرجع مشاهده و محاسبه می‌شد و از فرمول مربوطه، میزان N_V محاسبه و سپس با ضرب کردن این دانسیته در حجم مرجع که در این تحقیق حجم فضای کورتکس منظور گردیده بود، تعداد کل گلمرول‌ها به دست آمد.

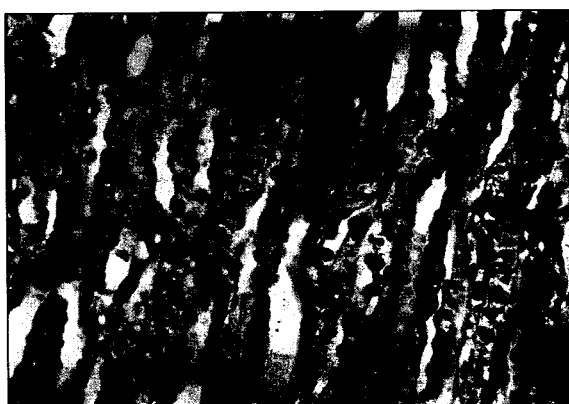
رابطه ریاضی مورد استفاده جهت تعیین دانسیته عددی

1. Microprojecting.
2. Mann-Withney-U.

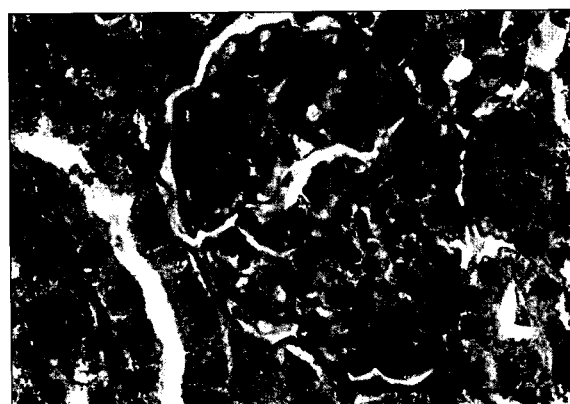
جدول شماره ۱ - مقایسه اثر سیس پلاتین بر تراکم نسبی (N_V) و تعداد کل گلوپروول های کلیوی (N_{Tot}) در رات

گروه	تعداد کل گلوپروول ها (N_{Tot})	$CE(N_V)$	تراکم نسبی N_V
سرم فیزیولوژی کنترل (I)	۳۱۷۰۷/۱۱ ±۲۷۶۵/۱۴	۰/۰۶	۱۶۲/۹۳ ±۲۰/۳۲
سیس پلاتین (دوز حاد II)	۳۰۴۱۵/۱۵ ±۵۹۰۱/۷۸	۰/۰۴	۱۱۹/۷ ±۱۶/۶۴ ^a
سیس پلاتین (دوز مزمن III)	۳۰۸۰۲/۸۴ ±۲۱۲۰/۳۸	۰/۰۳	۱۴۰/۷۱ ±۵/۰۶ ^a

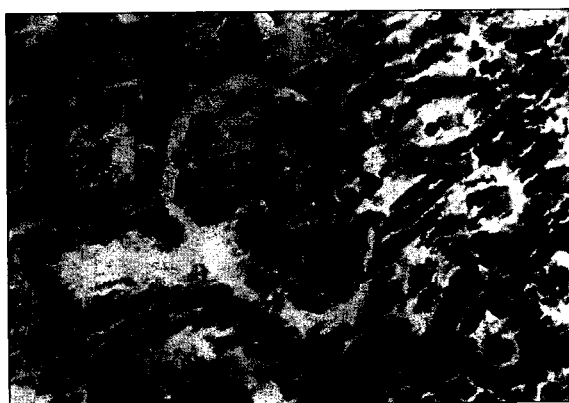
(a: اختلاف معنی دار با گروه کنترل $p < 0.05$)



شکل ۳ - فتومیکروگراف نوری از بافت مدولای کلیه موش صحرائی نر دریافت کننده سرم فیزیولوژی، بافت کلیه سالم سلول های لوله های لوله جمع کننده و هنله فاقد آسیب سلولی رنگ آمیز (H&E) ($\times 400$)



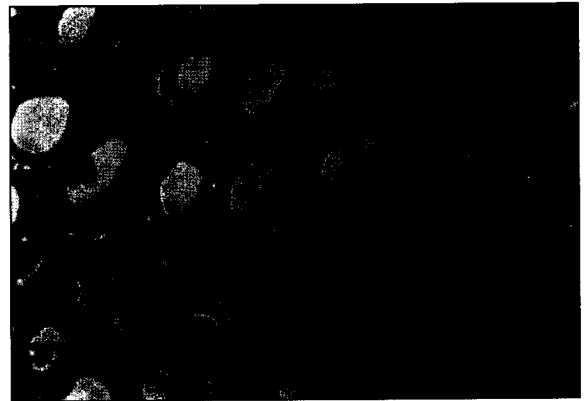
شکل ۲ - فتومیکروگراف نوری از کورتکس کلیه موش صحرائی نر دریافت کننده سرم فیزیولوژی، بافت کلیه سالم، سلول های لوله های پروکسیمال و دیستال و جسمک کلیوی فاقد آسیب رنگ آمیزی (H&E) ($\times 1000$)



شکل ۵ - فتومیکروگراف از بافت کورتکس کلیه موش صحرائی نر، دریافت کننده دارو به شکل حاد (۷/۵ میلی گرم به ازای هر کیلوگرم)، آسیب شدید سلولی شامل تورم سیتوپلاسم و هسته، کاهش قدرت رنگ پذیری در سلول های اپی تلیومی لوله های کلیوی و ریزش سلول های لوله هیپرتروفی در جسمک قابل مشاهده است. رنگ آمیزی (H&E) ($\times 400$)



شکل ۴ - فتومیکروگراف نوری از کورتکس کلیه موش صحرائی نر، دریافت کننده دارو به شکل مزمن (۱/۲۵ میلی گرم به ازای هر کیلوگرم)، آسیب سلولی، تورم سلولی، کاهش قدرت رنگ پذیری در سلول های اپی تلیومی لوله ها، ریزش سلول های هیپرتروفی در جسمک قابل مشاهده است. آسیب ها در مقایسه با شکل ۵ کمتر است. رنگ آمیزی (H&E) ($\times 400$)



شکل ۶. فتومیکروگراف نوری از بافت مدولای کلیه موش صحرایی نر، دریافت‌کننده دوز مزمن (۱/۲۵ میلی‌گرم به ازای هر کیلوگرم)، آسیب بافتی به شکل تجمع کاسپت‌ها در لوله‌ها و ارتشاح سلولی قابل مشاهده است. رنگ‌آمیزی (H&E) (×۴۰۰).

بحث

همچنان که تاکنون مشخص گردیده است، تخمین تعداد و اندازه گلومرول‌ها برای تشخیص و تعیین پیش‌آگهی و چگونگی پیشرفت ضایعات در بسیاری از ناراحتی‌های کلیوی مانند تنگی شریان کلیوی و اسکروز گلومرولی روش مناسبی می‌باشد (۸و۷). هرچند تحقیقات نشان داده که در روند برخی بیماری‌های مزمن، گلومرول‌ها بدون آنکه اثری از خود به جای گذارند ناپدید می‌شوند (۷و۸و۱۲و۱۳). از طرفی میزان پالایش کلیوی، وابستگی مستقیم به تعداد، قطر و سلامت گلومرول‌های کلیوی دارد و در واقع تغییرات عمده در توده کلیوی با پیشرفت بیماری‌های کلیوی ارتباط مستقیم دارد (۸و۷). همچنین ملاحظه گردید که در حیواناتی که فشار خون را به صورت مدل آزمایشگاهی ایجاد می‌نمایم، در مقایسه با گروه کنترل کاهش تعداد گلومرول‌ها پدید می‌آید (۸). همچنین به دنبال عدم تشکیل یک‌طرفه و یا برداشت کلیه، زمینه برای بروز ضایعاتی نظیر اسکروز گلومرولی پدید می‌آید که با کاهش تعداد گلومرول‌ها همراه است (۷و۸). نتایج تحقیق اخیر نشان می‌دهد که هرچند مسمومیت کلیوی حاصل از ماده ضدسرطان سیس‌پلاتین به شکل افزایش BUN و کراتینین سرم و آسیب در بافت کلیوی کاملاً محرز و اثبات شده است (۱۰و۱۱و۱۲)، شمارش تعداد کل گلومرول‌ها در بافت کلیوی اختلاف معنی‌داری را در گروه‌های آزمایشی اعم از گروه دریافت‌کننده دوز حاد دارو و یا گروهی که آن را به شکل مزمن دریافت داشته‌اند، نسبت به گروه کنترل نشان نمی‌دهد. به نظر می‌رسد این عدم تغییر در تعداد گلومرول‌ها یکی به آن سبب است

که تعداد نفرون‌ها در مدت کوتاهی پس از تولد، نسبتاً ثابت می‌ماند و این ثبات در طول عمر حفظ می‌شود و علت دیگر آنکه، تغییر در تعداد گلومرول‌ها با توجه به مدت زمان نسبتاً کوتاهی که بین تزریق دارو و کشتن حیوانات، اتفاق نیفتاده و شاید چنانچه این مدت طولانی‌تر می‌شد تغییر در این پارامتر رخ می‌داد. بدین ترتیب جهت بررسی این موضوع به تحقیقات بیشتری نیاز است.

منابع

1. Goodman V., Gliman V., The Pharmacological Basis of Therapeutics, 9th ed., New York: MacGraw-Hill, 1995, 1269-71.
2. Reynolds J.E.F., Martindale F., The Extra Pharmacopoea, 5th ed., Royal pharmaceutical Society, London 1996, 513-15.
3. Granick M.B., Mayer R.J., Abelson H.T., Acute renal failure associated with center treatment. In: Lazarus S.M., Brenner B.M., Acute renal failure, 3rd ed., London, Churchill Livingstone Inc., 1998, pp: 527-38.
4. Lau A.H., Apoptosis induced by cisplatin nephrotoxicity injury, Kidney Int. 1999; 56(4): 1295-98.
5. Ban M., Hettich D., Huguet N, nephrotoxicity mechanism of cisplatinum (II) diamine chloride in Mice. Toxicol. Lett. 1994; 71(2): 161-68.
6. Masatoshi I., Masahide N., Hideki W., et al. Cisplatin-induced nephrotoxicity and the protective effect of fosfomycin. Acute Obstes Czynecol. Scand., 1997; 76: 590-95.
7. Basagen J.M., Steffes M.W., Stillman A.E., et al. Estimation of glomerular number in situ using magnetic

12. Bertram J.F., Sossaipillai M.C., Ricardo S.D., et al., Total numbers of glomerulli and individual glomerular cell types on the normal rats kidney. *Cell Tissue Res.*, 1992; 270(1): 37-45.
13. Nyengard J.R., Number and dimensions of rat glomerular capillaries in normal development and after nephroctomy. *Kidney Int.*, 1993; 43(5): 1049-57.
14. Merove M., Graeme B. and Bertran F., Biphasic glomerular hyperthrophy in rats administrated puromycin aminonucloside *Kid. Int.*, 1996; 50: 768-75.
- ۱۵ - احمدی زاده، م. و حیدری فرد، م.، بررسی توکسیسیته هیپارین و نقش گلوکوتائون بر آسیب‌های حاصله از این دارو در موش‌های صحرایی نر، پژوهش در پزشکی، دی و اسفند ۱۳۷۶، شماره ۴، ۱۷ تا ۲۶.
8. Stov K., Nyengard J.R., Korsgaard N., et al. Number and size of renal glomerull in spontaneously hypertensive rats. *J. Hypertnes.*, 1994; 12(2): 1373-76.
9. Howard C.V., Reed C.E., Unblased sterology, 4th ed., Bios Scientific Publishers, 1998, pp: 69-106.
10. Gundersen H.J.G., Bendsten T.F., Korb L., et al. Some new simple and efficient stereological methods and their use in pathological research and diagnosis *APMISS*, 1988; 96: 394-97.
11. Dezfollian A.R., Microscopical application of design based stereological methods in histopathology and toxic-pathology, Ph. D. thesis, the University of Liverpool: 1995.